

بررسی پایداری دامنه های منطقه جوانرود با استفاده از مدل فرآیند محور (Sinmap)

پروین زارعی^۱، دکتری ژئومرفولوژی، گروه جغرافیا، دانشکده ادبیات و علوم انسانی، دانشگاه رازی، کرمانشاه، ایران.
علی طالبی، دانشیار آبخیزداری، گروه منابع طبیعی، دانشگاه یزد، یزد، ایران.
محمود علایی طالقانی، استادیار ژئومرفولوژی، گروه جغرافیا، دانشکده ادبیات و علوم انسانی، دانشگاه رازی، کرمانشاه، ایران.

دریافت مقاله: ۱۳۹۶/۰۲/۱۰

پذیرش نهایی: ۱۳۹۶/۰۸/۱۳

چکیده

بررسی عوامل مؤثر در ایجاد حرکت های توده ای و شناخت مناطق حساس به زمین لغزش برای برنامه ریزی، انجام پروژه های عمرانی و ارائه راه کارهای مدیریتی صحیح در مناطق حساس ضروری می نماید. در این مقاله تحلیل پارامترهای ژئو مکانیکی و هیدرولوژیکی به منظور تحلیل پایداری دامنه ها و پهنه بندی حساسیت به لغزش دامنه های منطقه مطالعاتی به کمک مدل فرآیند محور (فیزیک پایه) sinmap انجام شده است. برای دستیابی به هدف مورد نظر ۱۲ دامنه شامل ۷ دامنه لغزشی و ۵ دامنه فاقد لغزش به عنوان نمونه مطالعاتی در منطقه جوانرود انتخاب شدند و سپس تمامی متغیر های تحلیل پایداری دامنه ها از طریق مطالعات میدانی و آزمایشگاهی مورد اندازه گیری قرار گرفتند. بررسی ویژگی های توپوگرافی دامنه های مطالعاتی از طریق مطالعات میدانی به دست آمده است. برای اندازه گیری ویژگی های مکانیکی و هیدرولوژی خاک از هر دامنه مقدار ۵۰ کیلوگرم خاک برداشت شده و در آزمایشگاه مکانیک خاک پارامتر های مورد نیاز شامل وزن مخصوص خاک خشک (γ_d) وزن مخصوص خاک مرطوب (γ_t)، هدایت هیدرولیکی (K)، زاویه اصطکاک داخلی خاک (ϕ)، چسبندگی خاک (C) و همچنین تخلخل خاک مورد آزمایش قرار گرفته اند. نتایج حاصل از تحقیق نشان داد که در منطقه جوانرود بیشترین درصد از منطقه مطالعاتی در منطقه حفاظتی و آستانه بالای ناپایداری قرار دارد و درصد کمتری از منطقه در حد پایداری قرار دارد. این امر حاکی از مستعد بودن دامنه های منطقه مطالعاتی از لحاظ ناپایداری ذاتی می باشد. به طوری که ویژگی های دامنه های منطقه مطالعاتی (شیب بالا، ضریب چسبندگی کم، زاویه اصطکاک پایین و ضریب اشباع بالا) در این مناطق قطعاً باعث بروز پدیده ی زمین لغزش خواهند شد.

واژگان کلیدی: لغزش، پایداری دامنه، مدل فرآیند محور، Sinmap، جوانرود

مقدمه

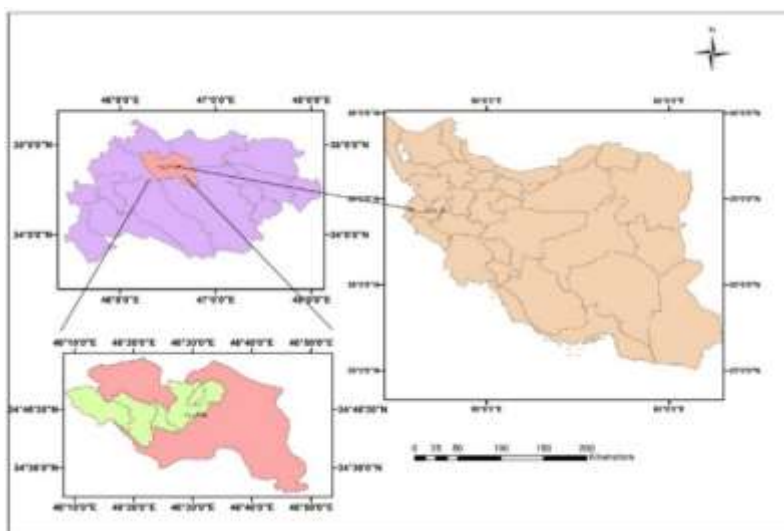
فرآیند لغزش به عنوان یکی از مخاطرات طبیعی پیش روی انسان که همواره در سراسر جهان باعث تلفات جانی و وارد آمدن خسارات سنگین مالی و اقتصادی به مناطق مسکونی می شود، دارای اهمیت خاصی می باشد. با افزایش جمعیت و اسکان در مناطقی که مستعد رویداد زمین لغزش هستند آمارهای جهانی تلفات و خسارات مالی ناشی از این پدیده پیوسته در حال افزایش می باشد. بنابراین بررسی عوامل مؤثر در ایجاد حرکت های توده ای برای برنامه ریزی و و ارائه ی راه کارهای مدیریتی صحیح در مناطق حساس ضروری می نماید. به همین منظور و به خاطر اهمیت این پدیده در پروژه های عمرانی، مطالعات زیادی توسط مهندسان ژئوتکنیک، زمین شناسان و هیدرولوژیست ها صورت گرفته است و مدل های مختلفی نیز برای پیش بینی خطر زمین لغزش ارائه شده است. در ایران بیشتر مطالعات در زمینه ی حرکت های توده ای و پهنه بندی خطر زمین لغزش، بر اساس روش های آماری و توصیفی صورت گرفته است در صورتی که امروزه در دنیا برای استفاده از روابط ریاضی در تحلیل حرکت های توده ای و کمی کردن این پدیده، بیشتر مطالعات بر مبنای مدل های فرایند محور (فیزیک پایه) و روش های ریاضی و عددی و استفاده از سیستم اطلاعات جغرافیایی و سنجش از دور، استوار است. ضروری است در ایران نیز بر اساس پارامترهای کمی و معادلات فیزیکی، زمین لغزش های موجود مطالعه و تحلیل شوند چرا که در بحث کنترل این پدیده خصوصاً در زمینه ی پایداری دامنه ها به دلیل پیچیده بودن طبیعت دامنه ها و عوامل مؤثر در وقوع زمین لغزش، به روابط فیزیکی و ریاضی نیازمند هستیم. بنابراین امروزه مدل های فرآیند محور (فیزیک پایه) جهت شناسایی مهمترین علل وقوع زمین لغزش در مقیاس وسیع به خدمت گرفته می شوند تا از این طریق بتوانند مشکل یکی از مهم ترین مخاطرات طبیعی به نام زمین لغزش را حل نمایند. این مدل ها فرآیندهایی از قبیل الگوهای بارش و تغییرات سطح آب زیر زمینی را به صورت ریاضی مدل کرده و با مدلهای نفوذ و آنالیزهای پایداری دامنه ادغام می کنند. اکثر این مدل ها از ترکیب آنالیزهای پایداری دامنه (روش شیب بی نهایت) با مدل سازی هیدرولوژیکی به وجود آمده اند و قابلیت ارزیابی زمین لغزشهای حاصل از شرایط هیدرولوژیکی را دارند. در منطقه جواهرود واقع در شمال غرب زاگرس چین خورده، جابه جایی توده ای مواد از قبیل لغزش از جمله فرایندهای دامنه ای مشکل آفرین است. این پدیده تخریب اراضی جنگلی، زمین های کشاورزی و مراعات این منطقه را به همراه داشته و برای تردد جاده ای نیز یک تهدید به شمار می رود. در این تحقیق به علت پیچیدگی های مرتبط با مکانیسم وقوع لغزش جهت تحلیل پایداری دامنه های کل منطقه و تهیه نقشه پهنه بندی لغزش های منطقه مطالعاتی از مدل فرایند محور (فیزیک پایه) استفاده گردید. مدل فرآیند محور مورد استفاده مدل $(Sinmap)$ می باشد. این مدل بر اساس مدل عددی پایداری شیب نامحدود پایه گذاری شده است. مطالعات زیادی در ارتباط با بررسی پدیده لغزش به خصوص در سطح حوضه با استفاده از مدل های فیزیک پایه صورت گرفته است. مونتگومری و همکاران برای تاثیر توپوگرافی بر روی ایجاد لغزش های سطحی توسط ارتباط داده های راقومی با مدل های جریان های زیر سطحی و پایداری شیب مدلی ارائه دادند و نشان دادند که توپوگرافی سطحی از طریق پارامترهایی نظیر جریان زیر سطحی موجب افزایش اشباع خاک و کاهش تنش برشی شده و در وقوع زمین لغزش های سطحی مؤثر هستند (Mongomery & Ditrtech, ۱۹۹۴). وو و همکاران مدل فیزیکی و توزیعی پایداری شیب (DSLAM) بر اساس مدل شیب بی- نهایت، مدل موج جنبشی آب زیرزمینی و مدل تغییر مداوم نیروی ریشه گیاهان عرضه کرده اند. این مدل جهت آنالیز سریع لغزش های کم عمق و پراکنش مکانی فاکتور پایداری (FS) در نواحی جنگلی پر شیب طراحی شده بود (Slide, ۱۹۹۵) (Wu & Wu).

همچنین با فرض کردن ماندگار یا شبه ماندگار بودن سطح آب زیر زمینی و موازی بودن جریان های آب زیر زمینی با شیب دامنه، مدل های متنوعی بر اساس ترکیب آنالیزهای پایداری دامنه (روش شیب نامحدود) با مدلسازی هیدرولوژیکی به منظور ارزیابی زمین لغزش های حاصل از شرایط هیدرولوژیکی و کاربری اراضی، توسعه داده اند از جمله مطالعات صورت گرفته در این راستا می توان به کارهای محققانی همانند گلید، بورگا، تروخ، کلاسنس، بیوم، ویتا اشاره نمود (Glade, ۲۰۰۰; Borga, ۲۰۰۳; Vita, ۲۰۱۳; Troch, ۲۰۰۲; Claessens, ۲۰۰۷; Baum, ۲۰۱۱). نقشه پایداری زمین یک مدل هیدرولوژیکی و کارتو گرافی (sinmap) را توسعه دادند و به این نتیجه رسیدند که این مدل روشی برای مدل سازی توزیع مکانی لغزش های سطحی فراهم می آورد (Pack et al, ۱۹۹۸). ویور و همکاران به بررسی خطر وقوع لغزش در منطقه مرتفع فلات لسی در شرق لهستان با استفاده از مدل sinmap پرداختند. نتایج حاصل از آنالیز پایداری نشان داد که برای ارزیابی نسبی خطر و همچنین برنامه ریزی و مدیریت جنگل ها و دیگر خطرات زمین می توان از این مدل استفاده نمود (Wawer et al, ۲۰۰۳). ناکا و عبدالغفور با استفاده از مدل فرایند محور sinmap به تحلیل و بررسی زمین لغزش در شمال اردن پرداختند. نتایج تحقیق نشان داد که بیشترین درصد از منطقه مطالعاتی را (۷۹ درصد) مناطق ناپایدار شامل می شوند (Naqa & Abdelghafoor, ۲۰۰۶). کلایمس به بررسی فاکتورهای موثر در وقوع لغزش همانند عوامل زمین شناسی، زاویه و جهت شیب، کاربری اراضی، رخداد لغزش های پیشین و تهیه نقشه توزیع فضایی لغزش در مقیاس ناحیه ای در در مناطق کوهستانی چک اسلواکی با استفاده از مدل sinmap و Gis پرداخت. آنالیزها نشان داد که وجود لغزش های گذشته مهمترین عامل برای وقوع لغزش در ناحیه مطالعاتی می باشد (Klimes, ۲۰۰۸). ایلماز و کسکین به تهیه نقشه پهنه بندی لغزش در محدوده ی Sebinkarahisar در ترکیه با استفاده از مدل (sinmap) پرداختند. با توجه به نتایج حاصل از آنالیزهای آزمایشگاهی و اسنادی فرسایش پنجه ای و فشار آب زیرزمینی به عنوان دو عامل مهم و موثر در وقوع لغزش های ناحیه مطالعاتی شناسایی شدند. (Yilmaz & Keskin, ۲۰۰۹). ترهورست و کرجا به بررسی یک ناحیه لغزشی فعال در مناطق کوهستانی آلمان با استفاده از مدل sinmap پرداختند. مقایسه نتایج بدست آمده از نقشه پهنه بندی با مقایسات میدانی در انطباق مناسبی بودند. بر اساس داده های قابل اطمینان و اطلاعات تفصیلی نشان داد که (sinmap) یک ابزار قدرتمند برای ارزیابی لغزش های انتقالی می باشد (Terhorst & Kreja, ۲۰۰۹). پائولین و همکاران اثر اندازه پیکسل در نمایش لغزش ها و اثرات جانبی آن بر پیش بینی توسط مدل sinmap پرداختند و به این نتیجه رسیدند که مدل با پیکسل های به ابعاد ۳۰ متر نیز نتایج خوبی ارائه می دهد و با افزایش اندازه پیکسل، دقت توزیع مکانی لغزش ها کاهش می یابد (Paolin et al, ۲۰۱۰). میشل و همکاران به منظور بررسی حرکات متنوع لغزش و تهیه نقشه آسیب پذیری در حوضه ی آبریزی در برزیل جنوبی از دو مدل Sinmap و Shalstab استفاده کردند. بر اساس نتایج حاصل از آنالیز مدل Sinmap، ۳۰ درصد از منطقه مطالعاتی به عنوان منطقه ناپایدار شناخته شد (Michel et al, ۲۰۱۴). چا و همکاران به ارزیابی خطر لغزش با استفاده از ویژگی های ژئومورفیک با استفاده از روش های Sinmap و آنالیز وکتوری در کره پرداختند. نتایج حاصل از آنالیز نشان داد که ویژگی های ژئومورفیک بین قلمروهای پایدار و ناپایدار متفاوت می باشد و مدل به خوبی خطر لغزش را برای لغزش های نوع جریان ای ارزیابی می کند (Cha et al, ۲۰۱۴). یانگ و همکاران به بررسی و آنالیز پایداری دامنه با استفاده از مدل (sinmap) تحت تاثیر مولفه های مختلف بارش در منطقه لوشان پرداختند. نتایج نشان داد که افزایش شدت بارش در یک رابطه معنادار با افزایش

ناپایداری منطقه همراه است. شدت زلزله و شدت بارش از فاکتورهای مهم برای پایداری دامنه های پس از لرزه می باشند (Yang et al, ۲۰۱۵). فاریا و همکاران به بررسی و ارزیابی آسیب پذیری زمین لغزش ها روی تراس های کشاورزی دره دورو در پرتغال با استفاده از مدل های فیزیک پایه Shalstab و Sinmap پرداختند. نتایج مدل Sinmap نشان دهنده تاثیر زیاد عامل مورفولوژی تراس ها بر روی جریان های هیدرولوژی در مدل بود (Faria et al, ۲۰۱۶). در ایران بیشتر مطالعات صورت گرفته برای پیش بینی لغزش بر اساس مدل های تجربی و توصیفی می باشد و در زمینه استفاده از مدل های پایه فیزیکی در بررسی لغزش، پژوهشهای کمی صورت گرفته است. احمدی و طالبی آنالیز پایداری شیب دامنه را با استفاده از روش (bishop) انجام دادند و به این نتیجه رسیدند که دو عامل تکتونیک (زمین ساخت) و احداث جاده در پایین دست به عنوان عوامل تشدید کننده زمین لغزش می باشند (احمدی و طالبی، ۱۳۸۰). ایزددوست و طالبی به مقایسه مدل های پایه فیزیکی زمین لغزش در منطقه ایلام پرداختند و به این نتیجه رسیدند که مدل sinmap در صورتی که برای کل سطح حوضه کارایی مناسب تری نسبت به سایر مدل های فیزیکی خواهد داشت (ایزدوست و طالبی، ۱۳۸۹). بحری و همکاران در مقاله خود تحت عنوان پیش بینی دامنه های ناپایدار با استفاده از مدل فرآیند محور (sinmap) به پهنه بندی حوضه آبخیز سد لتیان پرداختند و با استفاده از این مدل نقشه خطر آن را بدست آوردند (بحری و همکاران، ۱۳۹۱). تاجبخش و همکاران به بررسی عوامل موثر در ایجاد پهنه لغزشی هاوانان بیرجند و تحلیل پایداری دامنه ها با استفاده از مدل sinmap پرداختند. بر اساس نتایج تحقیق ترکیب سنگ و وجود دو سری شکستگی را به عنوان مهمترین عوامل ناپایداری معرفی نمودند (تاجبخش و همکاران، ۱۳۹۳). در تحقیق حاضر نیز به منظور شناسایی دامنه های ناپایدار و بررسی عوامل موثر در ناپایداری دامنه ها و همچنین تهیه نقشه آسیب پذیری در منطقه جوانرود سعی شد که از مدل فرآیند محور (فیزیک پایه) sinmap استفاده شود.

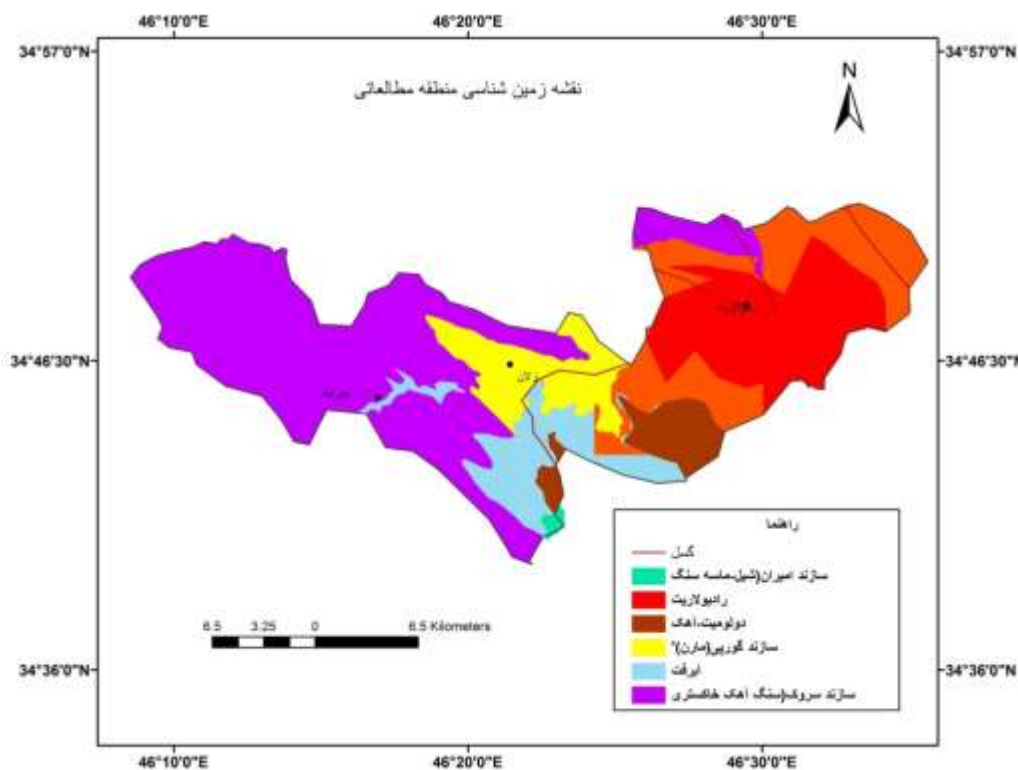
داده ها و روش کار

با توجه به پراکنش نقاط لغزشی در حوضه های آبخیز منطقه جوانرود شامل: زلان، ليله، بازان و صفی آباد، محدوده بین ۳۴ درجه و ۳۹ دقیقه تا ۳۴ درجه و ۵۶ درجه عرض شمالی و ۴۶ درجه و ۱۰ دقیقه تا ۴۶ درجه و ۳۶ دقیقه طول شرقی از بخش شمال غرب زاگرس چین خورده مورد بررسی قرار گرفته است (شکل ۱).



شکل ۱: موقعیت جغرافیایی منطقه مطالعاتی

منطقه مورد مطالعه منطقه ای کاملاً کوهستانی با نوسان ارتفاعی بین ۱۰۰۰ تا ۲۷۰۸ متر می باشد. کوه های بهم فشردده با دره های عمیق از ویژگی های آن می باشد. میانگین سالانه درجه حرارت در منطقه ۱۵/۶ درجه سانتی گراد و میانگین بارش سالانه حدود ۶۰۰ میلیمتر است. ساختار منطقه جوانرود چین خورده است ولی به دلیل ساختمان سنگ شناسی متفاوت، شکل چین ها و ارتفاع آنها بسیار متفاوت است. از این نظر کوه های منطقه را می توان به دو واحد کوه های برجسته و اراضی تپه ماهوری تقسیم کرد. کوه های برجسته از تناوب آهک تیره با مارن خاکستری (سازند سروک) یا از تناوب آهک های رسی سیاه تا خاکستری و شیل های سیاه (سازند گرو) ساخته شده اند اما اراضی تپه ماهوری بخش میانی و شرقی حوضه را در بر میگیرد. جنس این اراضی در بخش میانی منطقه از سازند گورپی مشتمل بر مارن خاکستری و شیل است و در مشرق حوضه از رادیولاریت های کرمانشاه می باشد. لیتولوژی رادیولاریت ها شامل چرت های قرمز، زرد تا سبز زیتونی، شیل های قرمز و سبز رنگ، آهک های سیلسی و توده های آذرین بازی و فوق بازی مثل سرپانتین است. (شکل ۲). سطح این تپه ها یا پوشیده از جنگل تنک بلوط است و یا زیر کشت دیم قرار دارد. انطباق پراکنش لغزش های منطقه با نقشه ی زمین شناسی حاکی از آن است که دو سازند گورپی و رادیولاریت کرمانشاه زمینه ساز پدیده زمین لغزش در منطقه مورد مطالعه محسوب می شوند.



شکل ۲: نقشه زمین شناسی منطقه جانرود

مواد مورد استفاده در این پژوهش شامل نقشه های توپوگرافی ۱:۵۰۰۰۰ منطقه جانرود، نقشه های زمین شناسی ۱:۱۰۰۰۰۰، عکس های هوایی ۱:۵۵۰۰۰، تصاویر ماهواره ای گوگل ارث، GPS، مدل رقومی ارتفاعی ۲۰ متر و نرم افزارهای Arc gis و Matlab می باشد. این تحقیق به دو روش میدانی و آزمایشگاهی صورت گرفته است. مراحل انجام تحقیق را نیز به طور خلاصه می توان به شرح زیر بیان نمود:

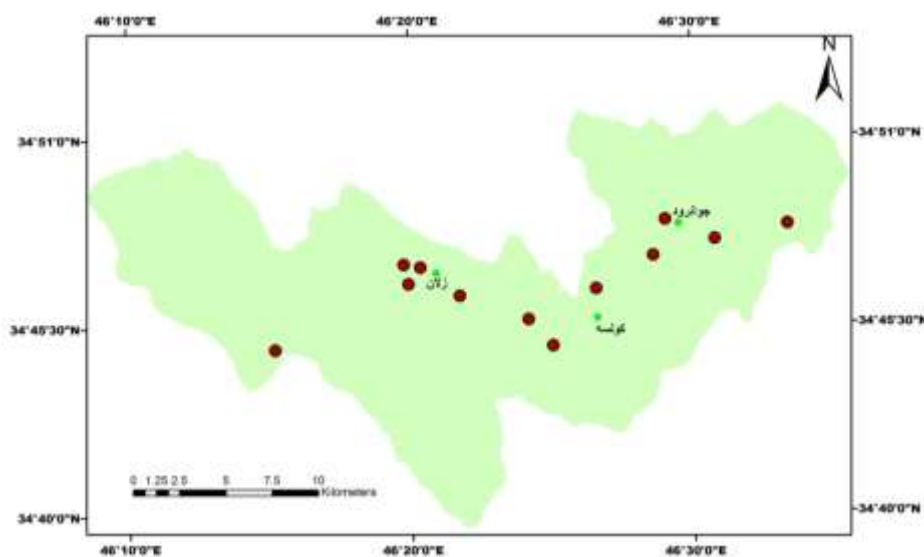
گام اول - تهیه بانک اطلاعاتی

اطلاعات مورد نیاز در این تحقیق ویژگی های ژئومورفولوژیکی، هیدرولوژیکی و مکانیک خاک دامنه ها در محدوده مورد مطالعه را شامل می شود. بنابراین برای دستیابی به این اطلاعات لازم بود تا ابتدا دامنه های نمونه برای اندازه گیری متغیرهای فوق مورد شناسایی قرار گیرند. برای این منظور نیز ابتدا نقشه پراکنش لغزش ها در محدوده مورد مطالعه تهیه گردید و سپس براساس آن، دامنه های نمونه برای اندازه گیری متغیرهای مورد نیاز انتخاب گردیده اند. نقشه پراکنش لغزش با استفاده از تصاویر ماهواره ای و بازدید های میدانی تهیه گردید. به این صورت که پس از شناسایی توده های لغزشی موقعیت آنها به کمک GPS تعیین و سپس به نقشه پایه منطقه منتقل گردید (شکل ۳).



شکل ۳: نمونه‌هایی از دامنه‌های لغزشی در منطقه‌ی جوانرود

دامنه‌های نمونه نیز با توجه به داده‌های نقشه لغزش به تعداد ۱۲ دامنه شامل پنج دامنه پایدار (فاقد لغزش) و ۷ دامنه ناپایدار (دارای توده لغزش) شناسایی شده و برای ارجاع از شماره یک تا ۱۲ شماره گذاری شده‌اند. دامنه‌های شماره ۱ تا ۵ به عنوان دامنه‌های پایدار و دامنه‌های شماره ۶ تا ۱۲ به عنوان دامنه‌های لغزشی می‌باشند. (شکل ۴)



شکل ۴: نقشه پراکنش نقاط لغزشی منطقه مورد مطالعه

گام دوم - تعیین و اندازه‌گیری‌های پارامترهای مورد نیاز جهت اجرای مدل

پس از انتخاب دامنه‌های نمونه، پارامترهای مورد نیاز به شرح زیر مورد سنجش قرار گرفته‌اند:
 - تعیین پارامترهای ژئو مکانیکی خاک: برای اندازه‌گیری ویژگی‌های مکانیکی خاک اقدام به نمونه‌گیری خاک از هر دامنه گردید. برای این منظور از هر دامنه حداقل مقدار ۵۰ کیلوگرم خاک برداشت شده است. نمونه خاک‌ها نیز از عمق ۷۵ سانتی متری تا ۱ متری برداشت شده‌اند. جهت نمونه برداری از خاک‌های ریزدانه از وسیله به نام (corecutter) جهت نمونه برداری خاک‌های درشت دانه نیز از بیل استفاده شده است. خاک نمونه برداری شده به آزمایشگاه مکانیک خاک شهر کرمانشاه متعلق

به اداره راه استان انتقال داده شده و پارامترهای مورد نیاز شامل وزن مخصوص خاک خشک (γ_d) وزن مخصوص خاک مرطوب (γ_t)، هدایت هیدرولیکی (K)، زاویه اصطکاک داخلی خاک (ϕ)، چسبندگی خاک (C) و همچنین تخلخل خاک می باشد. پارامترهای مقاومت برشی خاک یعنی ضریب چسبندگی خاک بر حسب کیلوگرم بر سانتی متر مربع و زاویه اصطکاک داخلی خاک بر حسب درجه در آزمایشگاه مکانیک خاک بر اساس آزمایش برش مستقیم به دست آمد (شکل ۴). ضریب چسبندگی خاک در واقع مقاومت خاکی به علت چسبندگی دانه‌ها است که حاصل از مقاومت مولکولی یعنی نیروی جاذبه الکتروشمیایی بین ذرات ریز است. زاویه اصطکاک داخلی، مقاومت بین دانه‌های خاک در مقابل سر خوردن دانه‌ها، مقاومت در مقابل غلتیدن بر روی یکدیگر و شکسته شدن دانه‌ها و غیره است که همگی مربوط به خاک‌های غیرچسبنده و درشت دانه‌ها شامل انواع ماسه و انواع شن‌ها و مانند آنها است. هدایت هیدرولیکی (k) در واقع یکی از خصوصیات هیدرودینامیک خاک‌ها است که نقش تعیین کننده‌ای در حرکت و انتقال آب و املاح در خاک در تخمین میزان جریان‌های زیرزمینی تحت شرایط هیدرولیکی مختلف، پایداری سازه‌های خاکی و مکانیک خاک دارد. در این تحقیق ضریب هدایت هیدرولیکی یا همان ضریب نفوذپذیری به روش (بار افتان) محاسبه شده است. میزان رطوبت در خاک بر تمامی ویژگی‌های فیزیکی و مکانیکی خاک از جمله نفوذپذیری، تخلخل، تورم، تراکم‌پذیری مؤثر است. هدف از این آزمایش، تعیین ضریب یا درصد وزنی رطوبت در خاک نسبت به دانه‌های خشک (به روش گرم کردن و توزین) می‌باشد. در این آزمایش به تعیین وزن مخصوص خشک و مرطوب خاک و در نهایت وزن مخصوص اشباع خاک (ps) که از پارامترهای محاسباتی برای اجرای مدل می‌باشند، پرداخته شد. تخلخل عبارت است از درصد منافذی که در خاک وجود دارد. تخلخل خاک اهمیت زیادی از لحاظ تهویه، نفوذپذیری و ظرفیت نگهداری خاک دارد. در آزمایشگاه برای اندازه‌گیری درصد تخلخل از روش محاسبه‌ی وزن مخصوص حقیقی و ظاهری ظاهری استفاده گردید. هدف از این آزمایش، تعیین نسبت وزن مخصوص بخش جامد خاک به وزن مخصوص آب می‌باشد.

- تعیین پارامترهای ژئومورفولوژی دامنه‌ها: جهت تعیین پارامترهای مورفولوژی و توپوگرافی علاوه بر استفاده از نقشه توپوگرافی، مدل رقومی ارتفاعی (Dem) با قدرت تفکیک ۲۰ متر و تصاویر ماهواره‌ای، جهت افزایش دقت سعی شد که از اندازه گیری‌های میدانی نیز استفاده شود. به این ترتیب با بهره‌گیری از نرم افزار Gis، متر دستی و لیزری و همچنین شیب سنج، ویژگی‌های ژئومتری دامنه از قبیل شیب متوسط (beta)، مساحت بالادست دامنه (A) عرض دامنه (W)، طول دامنه (L)، پروفیل طولی دامنه تعیین گردید.

- تعیین ضریب چسبندگی ریشه درختان: برای تعیین مقدار چسبندگی ریشه درختان و وارد سازی تاثیر آن در مدل مورد استفاده، پس از تعیین کاربری هر دامنه (جنگل، مرتع، زیر کشت و بایر) از طبقه بندی ارائه شده توسط (kayastha, ۲۰۰۶, vinh, ۲۰۰۷) استفاده شده است. (جدول ۱).

جدول ۱: مقادیر چسبندگی ریشه برای کاربری‌های اراضی مختلف (کایاستا، ۲۰۰۶ و وین، ۲۰۰۷)

| چسبندگی ریشه (KN/m^2) | نوع کاربری اراضی |
|----------------------------------|--------------------------------|
| ۱ | اراضی کشاورزی |
| ۸ | اراضی جنگلی |
| ۰ | روستاها و مناطق ساختمانی |
| ۱ | بوته‌زارها و تپه‌های فاقد پوشش |

- تعیین میزان بارش: یکی از عوامل اصلی در وقوع لغزش بارش می باشد. برای این منظور نیز برای هر دامنه بیشینه بارندگی ۲۴ ساعته در طی یک دوره ی آماری ۲۰ ساله در نظر گرفته شده است. آمار مورد استفاده مربوط به ۴ ایستگاه باران سنجی به نام های (زلان، ده رش، جوانرود و بنچله) می باشد. مقادیر مورد استفاده با توجه به نزدیکی نقاط لغزشی به ایستگاه های مذکور در نظر گرفته شده است.

گام سوم- اجرای مدل

جهت تحلیل پایداری دامنه های کل منطقه در سطح حوضه و تهیه نقشه پهنه بندی لغزش های منطقه مطالعاتی سعی شد از مدل فیزیک پایه ی (sinmap) استفاده شود. این مدل براساس مدل عددی پایداری شیب نامحدود پایه گذاری شده است. این مدل مولفه های ناپایدارکننده مانند نیروی ثقل و پایدارکننده مانند نیروی اصطکاک و چسبندگی خاک دامنه را بر روی یک سطح شکست شبیه سازی می نماید. با استفاده از داده های ورودی یعنی شیب، مساحت حوضه آبخیز، ویژگی های خاک (استحکام) و خصوصیات اقلیمی (رطوبت هیدرولوژیک) عمل طبقه بندی زمین را بر اساس میزان پایداری انجام می دهد. هر یک از این پارامترها بر روی یک شبکه سلولی بیان می گردند تا قابل محاسبه در محاسبات عددی نرم افزار باشند. در واقع خروجی اصلی این مدل، شاخص پایداری (SI^3) است که با استفاده از این شاخص، نرم افزار، عمل طبقه بندی پایداری زمین را براساس میزان پایداری در سطح هر سلول از شبکه انجام می دهد. و با توجه به فاکتور پایداری (Fs) می توان پایداری و یا عدم پایداری دامنه ها را پیش بینی کرد. متغیرهای وابسته به توپوگرافی به صورت خودکار از مدل رقومی ارتفاع استخراج می شوند. سایر متغیرهای ورودی دارای یک نوع عدم قطعیت می باشند، بنابراین به صورت حدود بالا و پایین یا دامنه ای در نرم افزار تعریف می شوند. با فرض یکنواخت بودن توزیع پارامترها در دامنه عددی تعریف شده از جانب کاربر شاخص پایداری یا (SI) به صورت یک احتمال تعریف می شود که، نشان دهنده پایداری مکان یا پیکسل مورد مطالعه است. اساس این مدل، بر مدل پایداری شیب بی نهایت می باشد. بر طبق رابطه (۱) فاکتور (Fs) تعریف می شود که تمام محاسبات بر اساس آن می باشد:

$$Fs = C + \text{coc}(\theta) * (1 - W * r) * \tan(\varphi) / \sin(\theta) \quad \text{رابطه (۱)}$$

C - چسبندگی خاک و ریشه (KN/m^2) می باشد که با توجه به رابطه (۲) محاسبه می شود. حد پایین و بالای چسبندگی با توجه به داده های مکانیک خاک به ترتیب ۲۵ و ۰ (kN/m^2) در نظر گرفته شده است. مقادیر پیش فرض زاویه اصطکاک داخلی (φ) نیز برای مرز پایین دست و بالادست به ترتیب (۳۰، ۴۵) درجه می باشد. همچنین مقدار پیش فرض تراکم خاک، با توجه به

^۱- Stability Index

تخلخل خاک داده های آزمایشگاه مکانیک خاک (۱۰ درصد) در نظر گرفته شده است. این ارزش نمایانگر مرز رطوبتی بین مناطق با رطوبت کم و مناطق متمایل به مرطوب می باشد

رابطه (۲)

$$C = (C_r + C_s) / (h * g * p_s)$$

θ - زاویه شیب (%), h - ارتفاع آب زیرزمینی, P_s - وزن مخصوص خاک (kg/m^3), G شتاب ثقل (۹/۸۱ متر در ثانیه) می باشد

W - رطوبت نسبی است که از رابطه (۳) بدست می آید:

رابطه (۳)

$$W = \min \left[\frac{Ra}{T \sin(\theta)}, 1 \right]$$

R - بارندگی (mm/day), A - سطح بالادست دامنه (m^2), T - انتقال دهندگی خاک که از رابطه (۴) محاسبه می شود. پارامتر R/T ارزش مربوط به نسبت انتقال به برداشت موثر است که برای مرز پایین دست و بالادست با برابر با (۲۰۰۰ و ۳۰۰۰) متر می باشد. در واقع (R) تغذیه موثر برای یک دوره بحرانی از هوای مرطوب است که با احتمال می تواند منجر به شروع فرآیند زمین لغزش گردد.

رابطه (۴)

$$T = K * d$$

k - هدایت هیدرولیکی (m/h), d - عمق خاک (m)

در این مدل تهیه نقشه پهنه بندی با استفاده از پارامترهای ورودی مدل، لایه های اطلاعاتی نقاط لغزش در منطقه و مدل رقومی ارتفاعی (DEM) با قدرت تفکیک ۲۰ متر و اطلاعات بدست آمده از نتایج آزمایشگاهی و میدانی برای دامنه های مطالعاتی، با استفاده از نرم افزار Arcview تهیه می گردد. مقادیر پیش فرض مدل بین مقیاس عددی (۰، ۰/۵، ۱، ۱/۲۵، ۱/۵) می باشد (جدول ۲). در جدول مذکور از واژه های پایدار، نیمه پایدار، شبه پایدار برای طبقه بندی مناطقی استفاده می شود که بر اساس تئوری مدل حتی با وجود داشتن حداکثر عوامل ناپایدار کننده دچار ناپایداری و گسیختگی نمی شوند. کلاس های آستانه بالایی و پایینی هم نشان دهنده مناطقی است که در آنها احتمال ناپایداری به ترتیب بیشتر و کمتر از ۵۰ درصد می باشد. کلاس شیب حفاظتی نیز برای مناطقی به کار می رود که هرگونه تغییر در دامنه پارامترهای ورودی نمی تواند از ناپایداری آنها جلوگیری کند.

جدول ۲: کلاس های پیش فرض مدل sinmap

| ضریب پایداری (SI) | کلاس ناپایداری |
|-------------------|--------------------------|
| $SI > 1/5$ | منطقه پایدار |
| $1/25 > SI > 1/5$ | منطقه با پایداری متوسط |
| $1 < SI < 1/25$ | منطقه شبه پایدار |
| $0/5 < SI < 1$ | منطقه پایین تر از آستانه |
| $0 < SI < 0/5$ | منطقه بالاتر از آستانه |
| $SI < 0$ | منطقه حفاظت شده |

شرح و تفسیر نتایج

جابه‌جایی توده‌های مواد، از قبیل لغزش از جمله فرایندهای دامنه‌ای مشکل‌آفرین در منطقه‌ی جانرود واقع در شمال غرب زاگرس چین خورده است زیرا این پدیده‌ی تخریب اراضی جنگلی، زمین‌های کشاورزی و مراتع این منطقه را به همراه داشته و برای تردد جاده‌ای نیز یک تهدید به شمار می‌رود. ویژگی‌های ذاتی محیط همانند آسیب‌پذیری سازندهای زمین‌شناسی این منطقه (گورپی و رادیولاریت)، آب و هوای نیمه‌مرطوب سرد، همراه با شکل دامنه و عوامل انسانی (تسطیح دامنه، برش جاده‌ای) در وقوع لغزش در منطقه‌ی جانرود تأثیرگذار می‌باشند. نوسان شدید دما همراه با بارش قابل توجه (۶۰۰ میلی‌متر در سال)، هوازدگی شدید لایه‌های شیلی و مارنی سازندهای گورپی، باعث تشکیل قشر ضخیم خاک و رگولیت در سطح دامنه‌های این منطقه شده است. تحت حاکمیت همین شرایط نیز جنگل بلوط به طور طبیعی در سطح آنها روییده است. از سوی دیگر، فشردگی کوه‌ها و عمق دره‌ها باعث شده است تا عمده فعالیت‌های انسانی برای مقاصد مختلف در سطح همین اراضی صورت گیرد. این اقدامات به خصوص توسعه‌ی کشاورزی و دامداری موجب تخریب شدید اراضی جنگلی شده است. اصولاً پوشش درختچه‌ای تنک نظیر جنگل مخروطی در صورت فراهم بودن سایر شرایط بستر مناسبی برای ناپایداری‌ها محسوب می‌شود. بر این اساس به دلیل پیچیده بودن رفتار دامنه‌ها در طبیعت جهت تحلیل پایداری دامنه‌های منطقه مطالعاتی با استفاده از مدل فیزیک پایه مورد استفاده سعی گردید که با توجه به پارامترهای ژئومکانیکی خاک و ویژگی‌های توپوگرافی ضریب پایداری (FS) برای هر دامنه محاسبه شود (جدول ۳ و ۴).

جدول ۳: پارامترهای مورد نیاز جهت تعیین ضریب پایداری دامنه‌ها در دامنه‌های بدون لغزش

| پارامترها | دامنه ۱ | دامنه ۲ | دامنه ۳ | دامنه ۴ | دامنه ۵ |
|--|-----------------------|-----------------------|-----------------------|-----------------------|-----------------------|
| چسبندگی C (kg/cm ²) | ۰/۰۸ | ۰/۰۱ | ۰/۰۸ | ۰/۰۱ | ۰/۰۶ |
| زاویه اصطکاک داخلی (ϕ') | ۳۴ | ۳۱ | ۳۹ | ۲۶ | ۳۲ |
| ضریب نفوذ پذیری (m/s) | $4/98 \times 10^{-6}$ | $3/18 \times 10^{-8}$ | $2/21 \times 10^{-9}$ | $6/26 \times 10^{-4}$ | $4/38 \times 10^{-8}$ |
| وزن مخصوص اشباع خاک (ps) (kg/m ³) | ۲۷۴۴ | ۲۵۴۴ | ۱۸۹۲ | ۲۵۰۲ | ۲۴۶۶ |
| چسبندگی ریشه (KN/M ¹) | ۸ | ۱ | ۱ | ۸ | ۱ |
| حداکثر بارش ۲۴ ساعته (mm/day) | ۸۶ | ۸۶ | ۸۶ | ۸۶ | ۸۰ |
| طول دامنه (m) | ۱۴۰ | ۱۱۰ | ۱۴۲ | ۱۸۰ | ۱۱۰ |
| عمق خاک (m) | ۱ | ۱ | ۱ | ۱ | ۱/۲ |
| شیب متوسط (%) | ۲۲ | ۱۷ | ۳۳ | ۳۴ | ۳۱ |

جدول ۴: پارامترهای مورد نیاز جهت تعیین ضریب پایداری دامنه ها در دامنه های لغزشی

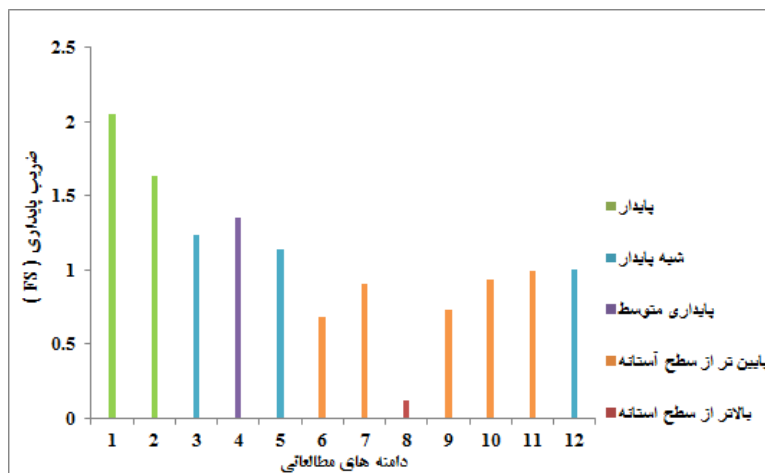
| پارامترها | دامنه ۶ | دامنه ۷ | دامنه ۸ | دامنه ۹ | دامنه ۱۰ | دامنه ۱۱ | دامنه ۱۲ |
|---|----------------------|----------------------|----------------------|-----------------------|----------------------|-----------------------|----------------------|
| چسبندگی C' (kg/cm ²) | ۰/۰۳ | ۰/۰۴ | ۰/۰۵ | ۰ | ۰/۰۳ | ۰/۰۷ | ۰/۰۲ |
| زاویه اصطکاک داخلی ϕ | ۲۶ | ۲۸ | ۲۵ | ۲۹ | ۲۲ | ۲۳ | ۲۰ |
| ضریب نفوذ پذیری (K) m/s | $۲/۲ \times ۱۰^{-۹}$ | $۶/۳ \times ۱۰^{-۸}$ | $۷/۱ \times ۱۰^{-۹}$ | $۱/۱۸ \times ۱۰^{-۷}$ | $۲/۲ \times ۱۰^{-۶}$ | $۷/۱۲ \times ۱۰^{-۸}$ | $۱/۲ \times ۱۰^{-۷}$ |
| وزن مخصوص اشباع خاک (ps) (kg/m ^۳) | ۲۶۰۳ | ۲۶۳۶ | ۲۶۷۲ | ۲۷۵۵ | ۲۱۷۶ | ۲۳۷۴ | ۲۵۱۱ |
| چسبندگی ریشه ($KN/M^۲$) | ۱ | ۱ | ۱ | ۱ | ۸ | ۱ | ۰ |
| حداکثر بارش سالانه (mm/day) | ۵۰ | ۸۰ | ۸۶ | ۱۰۰ | ۱۰۰ | ۸۶ | ۸۰ |
| طول دامنه (m) | ۸۰ | ۱۸۰ | ۹۰ | ۳۵۵ | ۱۴۰ | ۲۴۰ | ۲۹۰ |
| عمق خاک (m) | ۱/۱ | ۱/۲ | ۱ | ۰/۷ | ۰/۷ | ۱/۲ | ۱/۲ |
| شیب متوسط (%) | ۴۶ | ۳۷ | ۴۶ | ۳۲ | ۲۳ | ۲۳ | ۱۵ |

با توجه به نتایج حاصل از تعیین ضریب پایداری (جدول ۵) بر اساس تئوری مدل ، کلاس های پایدار، نیمه پایدار، شبه پایدار (دامنه های ۱ تا ۵) حتی با وجود داشتن حداکثر عوامل ناپایدار کننده دچار ناپایداری و گسیختگی نمی شوند. کلاس های آستانه بالایی و پایینی (دامنه های ۶ تا ۱۲) هم نشان دهنده مناطقی است که در آنها احتمال ناپایداری به ترتیب بیشتر و کمتر از ۵۰ درصد می باشد. نتایج حاکی از آن است که دامنه هایی که دارای ضریب پایداری بیش از ۱ می باشند و در کلاس آسیب پذیری کم قرار می گیرند دامنه هایی هستند که از لحاظ ویژگی های ژئومکانیکی خاک دارای زاویه اصطکاک داخلی بالا می باشند. این عامل رابطه مستقیمی با ضریب پایداری دارد یعنی افزایش این زاویه، پایداری دامنه ها را در پی خواهد داشت. درشت دانه بودن بافت خاک این دامنه ها که از نوع رگولیت حاصل از تجزیه سنگ های شیلی و مارنی سازندهای گورپی و رادیولاریت در شرایط آب و هوایی سرد و مرطوب با بارش فراوان می باشد ، باعث چسبندگی خیلی پایین و بالا بودن عامل زاویه اصطکاک داخلی شده است. ضریب چسبندگی خاک بستگی به قطر و اندازه ی دانه ها و جنس مواد معدنی تشکیل دهنده خاک دارد. هر قدر اندازه یا قطر دانه ها کوچک تر باشد، قدرت جذب آب و در نتیجه چسبندگی ایجاد شده بیشتر است و بر عکس اگر اندازه ی دانه ها بزرگ شوند، چسبندگی تقلیل می یابد. زاویه اصطکاک داخلی این دامنه ها بر اساس نتایج عمدتاً بیشتر از ۳۰ درجه می باشد. از نظر پایداری علاوه بر ویژگی های ژئومکانیکی عوامل توپوگرافی و مورفولوژی دامنه همانند شیب و شکل دامنه (محدب، مقعر، مستقیم) نقش مهمی در کنترل واکنش جریان زیرسطحی و واکنش دینامیکی دامنه ها دارند. از آنجایی

که فرآیندهای جریان زیرسطحی اثرات شدیدی بر پایداری دامنه ها دارد، بنابراین وقوع زمین لغزش به طور غیر مستقیم تحت تاثیر عوامل مورفولوژی دامنه خواهد بود. این دامنه ها غالباً دارای شیب کمتر از ۳۰ درصد می باشند. عامل شیب دامنه از محرک های اصلی در ناپایداری و گسیختگی دامنه ها است. شیب زمین با تغییر اثر نیروی ثقل، مقاومت برشی، نیروی برشی، اصطکاک، جریان زیرسطحی آب، نفوذپذیری و زاویه استقرار مواد دامنه ای، حرکت های توده ای را تحت تاثیر قرار می دهد در یک دامنه با ویژگی های مشخص و ثابت، هر چه درصد شیب بیشتر شود تاثیر نیروهای مخرب افزایش می یابد و به تناسب آن مقدار نیروهای مقاوم کننده و پایدار کننده توده کاهش می یابد. بنابراین افزایش شیب می تواند باعث افزایش تنش های برشی و گسیختگی دامنه گردد. با توجه به تمرکز یا پراکندگی آب های سطحی و زیرسطحی در مناطق پرشیب، شکل دامنه تأثیر زیادی روی پایداری دامنه دارد، به طوری که رخداد حادثه های لغزش به وسیله دو خصوصیت مهم مرتبط با توپوگرافی یعنی نیروی ثقل و عکس العمل هیدرولوژیکی کنترل می شود. این دو خصوصیت مؤثر بر جریان زیرسطحی بوده و جریان زیرسطحی نیز به شدت بر پایداری دامنه مؤثر است. شکل این دامنه ها عمدتاً دارای پروفیل طولی محدب می باشند. این امر باعث زهکشی سریع این دامنه ها و کاهش ذخیره رطوبت نسبی خاک این دامنه ها شده است به طوری که با توجه به نتایج، متوسط ذخیره اشباع نسبی این دامنه ها نسبت به دامنه های ناپایدار در حد پایین تری می باشد. این امر مقاومت برشی خاک را کاهش داده و دامنه را مستعد لغزش می کند. دامنه های ناپایدار منطقه ی مطالعاتی که عمدتاً دارای ضریب پایداری کمتر از یک می باشند، در کلاس آسیب پذیری خیلی زیاد قرار می گیرند. این دامنه ها از لحاظ خصوصیات ژئومکانیکی خاک دارای زاویه اصطکاک داخلی پایین می باشند. که این امر باعث کاهش پایداری دامنه های مطالعاتی خواهد شد. زاویه اصطکاک داخلی این دامنه ها غالباً کمتر از ۲۹ درجه می باشد. این دامنه ها عمدتاً دارای زاویه ی شیب بالاتر از ۳۵ درصد می باشند که باعث افزایش شرایط ناپایدار دامنه خواهد شد. از لحاظ شکل دامنه، عمدتاً دارای پروفیل طولی مقعر می باشند. این امر باعث زهکشی آهسته تر این دامنه ها، افزایش ذخیره ی اشباع نسبی خاک دامنه و در نتیجه کاهش پایداری می شود.

جدول ۵: مقدار ضریب پایداری محاسبه شده

| دامنه | ضریب پایداری (FS) | کلاس ناپایداری |
|----------|-------------------|------------------------|
| دامنه ۱ | ۲/۰۵ | پایدار |
| دامنه ۲ | ۱/۶۳ | پایدار |
| دامنه ۳ | ۱/۲۴ | شبه پایدار |
| دامنه ۴ | ۱/۳۵ | پایداری متوسط |
| دامنه ۵ | ۱/۱۴ | شبه پایدار |
| دامنه ۶ | ۰/۶۸ | پایین تر از سطح آستانه |
| دامنه ۷ | ۰/۹۱ | پایین تر از سطح آستانه |
| دامنه ۸ | ۰/۱۱ | بالاتر از سطح آستانه |
| دامنه ۹ | ۰/۷۳ | پایین تر از سطح آستانه |
| دامنه ۱۰ | ۰/۹۳ | پایین تر از سطح آستانه |
| دامنه ۱۱ | ۰/۹۹ | پایین تر از سطح آستانه |
| دامنه ۱۲ | ۱ | شبه پایدار |

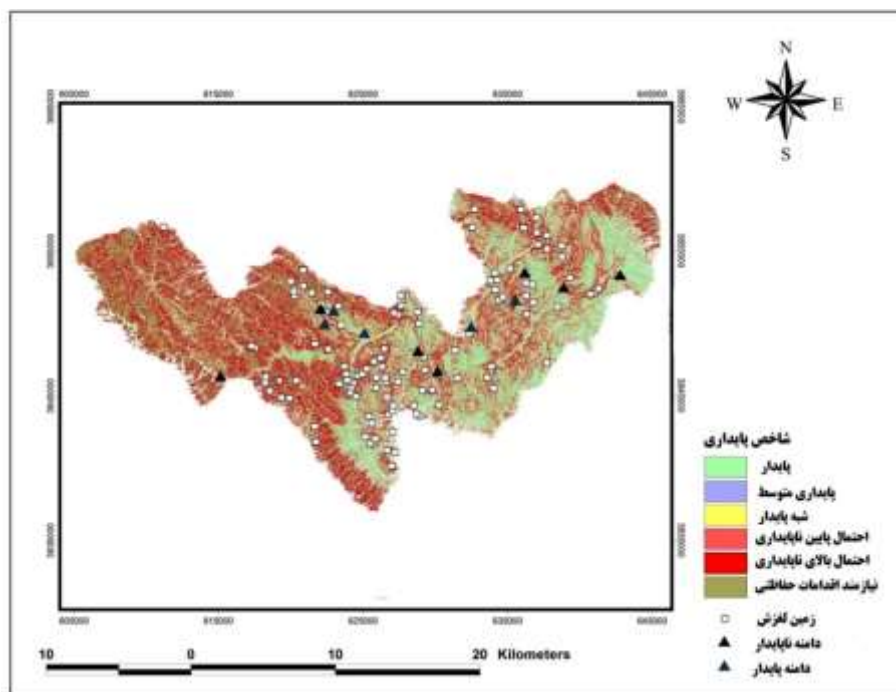


شکل ۵: نمودار ضریب پایداری دامنه های مطالعاتی

نتایج آماری حاصل از پهنه بندی با مدل sinmap (جدول ۶) و نقشه پهنه بندی خطر (شکل ۶) نشان می دهد که بیشترین درصد منطقه مطالعاتی در کلاس حفاظتی قرار دارد به طوری که حدود ۲۸ درصد از زمین لغزش ها در این کلاس آسیب پذیری که ۲۶ درصد از منطقه مطالعاتی را تشکیل می دهند، واقع شده اند. این امر حاکی از آن است که هرگونه تغییر در دامنه پارامترهای ورودی نمی تواند از ناپایداری آنها جلوگیری کند. حدود ۱۵/۹ درصد از منطقه مورد مطالعه در رده ی آستانه بالای ناپایداری واقع شده است. حدود ۱۸ درصد از زمین لغزش ها در این کلاس قرار دارند و عوامل طبیعی در این مناطق قطعاً موجب بروز زمین لغزش می شوند. کمترین درصد منطقه مطالعاتی متعلق به کلاس های شبه پایدار و پایداری متوسط می باشد که به ترتیب ۹/۲ و ۶/۲ درصد از منطقه مطالعاتی را تشکیل می دهند. با توجه به نتایج بدست آمده مشخص است که درصد ناپایداری منطقه بیشتر از مناطق پایدار می باشد. این امر حاکی از مستعد بودن دامنه های منطقه از لحاظ ناپایداری تحت شرایط طبیعی می باشد.

جدول ۶: نتایج آماری حاصل از پهنه بندی با مدل sinmap

| منطقه | پایدار | پایداری متوسط | شبه پایدار | حد پایین ناپایداری | حد بالای ناپایداری | حفاظتی | مجموع |
|------------|--------|---------------|------------|--------------------|--------------------|--------|-------|
| مساحت | ۶۴/۳ | ۲۲/۴ | ۳۲/۲ | ۹۰/۲ | ۵۷/۵ | ۹۵ | ۳۶۲/۶ |
| درصد منطقه | ۱۷/۷ | ۶/۲ | ۹/۲ | ۲۴/۹ | ۱۵/۹ | ۲۶/۲ | ۱۰۰ |
| تعداد لغزش | ۱۸ | ۴ | ۷ | ۳۰ | ۱۹ | ۲۵ | ۱۰۳ |
| درصد لغزش | ۱۷/۵ | ۳/۹ | ۶/۸ | ۲۹/۱ | ۱۸/۴ | ۲۴/۳ | ۱۰۰ |



شکل ۶: نقشه پهنه بندی لغزش منطقه جوانرود

نتیجه گیری

به علت پیچیدگی‌های مرتبط با مکانیسم وقوع لغزش و به دست آوردن نتایج دقیق سعی شد که برای بررسی این نوع لغزش‌ها که عمدتاً از نوع لغزش‌های سطحی می‌باشند، با توجه به بررسی کارهای تحقیقاتی گلید (۲۰۰۰)، بورگا (۲۰۰۲)، تروخ (۲۰۰۳)، کلاسنس (۲۰۰۷)، بیوم (۲۰۱۱)، ویتا (۲۰۱۳) بررسی پایداری دامنه‌های مطالعاتی بر اساس مدل‌های فیزیک پایه و تئوری پایداری شیب بی نهایت صورت گیرد. نتایج تحقیقی آنان بیشتر در ارتباط با بررسی تأثیر تغییرات سطح آب زیرزمینی و کاربرد شاخص‌های متفاوت اشباع‌شدگی در دامنه‌ها همراه با مدل‌سازی و روش‌های آنالیز شیب نامحدود در دامنه‌ها به صورت منفرد و بدون تهیه نقشه پهنه بندی در سطح حوضه مطالعاتی می‌باشد. بنابر این در پژوهش با توجه به هدف تحقیق جهت تحلیل پایداری دامنه‌های کل منطقه در سطح حوضه و تهیه نقشه پهنه بندی لغزش‌های منطقه مطالعاتی سعی شد با توجه به تحقیقات کلایمس (۲۰۰۸)، ناکا و همکاران (۲۰۰۶)، میشل و همکاران (۲۰۱۴)، طالبی و همکاران (۱۳۸۹) به تحلیل پایداری دامنه و بررسی عوامل مؤثر در ناپایداری دامنه با استفاده از مدل‌های فیزیک پایه sinmap پرداخته شود. در این مدل با توجه به بررسی و تعیین پارامترهای ژئومکانیکی، توپوگرافی و هیدرولوژی دامنه‌های مطالعاتی در سطح منطقه جوانرود می‌توان به تحلیل ضریب پایداری و تعیین کلاس‌های آسیب‌پذیری در کل منطقه مطالعاتی پرداخت. با توجه به نتایج بدست آمده برای دامنه‌های مطالعاتی و تحلیل نقشه پهنه بندی حاصل از مدل sinmap می‌توان گفت که در منطقه جوانرود درصد پایداری منطقه نسبت به ناپایداری کمتر می‌باشد. به طوری که بیشترین درصد از منطقه در منطقه حفاظتی (۲۶ درصد) و آستانه بالای ناپایداری (۱۵/۹ درصد) قرار دارد و درصد کمتری از منطقه در حد پایداری و شبه پایدار (۲۰ درصد) قرار دارد. این امر حاکی از مستعد بودن دامنه‌های منطقه مطالعاتی از لحاظ ناپایداری ذاتی می‌باشد. به طوری که عوامل

طبیعی نظیر پروفیل طولی مقعر و شیب بالا، زاویه‌ی اصطکاک پایین و ضریب اشباع بالا و در نهایت چسبندگی پایین خاک دامنه های مطالعاتی به علت درشت‌دانه بودن بافت خاک این دامنه ها که عمدتاً از نوع رگولیت حاصل از تجزیه سنگ های شیلی و ماری سازندهای گورپی و رادیولاریت می باشند ، در این مناطق قطعاً باعث بروز پدیده ی زمین لغزش خواهند شد. این دامنه‌ها در صورتی که تحت تأثیر فعالیت های انسانی همانند تسطیح دامنه‌ای برای ساخت‌وساز مسکونی یا برش جاده‌ای قرار بگیرند، ناپایدار خواهند شد. بنابراین لازم است که در بحث ساخت و ساز و احداث پروژه های عمرانی اقدامات حفاظتی لازم در این مناطق اعمال شود

منابع

- احمدی، حسن؛ علی طالبی . ۱۳۸۰. بررسی عوامل موثر در ایجاد حرکات توده ای(لغزش) ، مطالعه موردی: منطقه اردل استان چهارمحال و بختیاری) ، *مجله منابع طبیعی ایران* ۵۴: ۳۲۸-۳۲۳.
- بحری، معصومه؛ مهسا پناهی ، علی طالبی. ۱۳۹۱. پیش بینی دامنه های ناپایدار با استفاده از مدل فرآیند محور sinmap ، *هشتمین همایش ملی علوم و مهندسی آبخیزداری*، دانشگاه لرستان، خرم آباد، ایران.
- تاجبخش، محمد؛ هادی معمار یان ، مجید آسیایی، تحلیل پایداری شیب با استفاده از مدل فرآیندی Sinmap (مطالعه موردی: پهنه لغزشی هاوانان، بیرجند)، *جغرافیا و مخاطرات محیطی*، ۱۲: ۳۴-۱۹
- طالبی، علی؛ مریم ایزددوست . ۱۳۸۹. بررسی کارایی مدل sinmap در پهنه بندی خطر زمین لغزش (مطالعه موردی حوضه آبخیز سد ایلام)، *علوم و مهندسی آبخیزداری ایران*، ۱۵: ۶۸-۶۳.
- Baum, R.L.; J.W. Godt.; J.A.Coe. ۲۰۱۱. Assessing susceptibility and timing of shallow landslide and debris flow initiation in the Oregon Coast Range, USA. *Proceedings of the 9th International Conference on Debris Flow Hazards Mitigation, Mechanics, Prediction and Assessment*, ۱۴-۱۷ June ۲۰۱۱, Padua, Italy.
- Borga, M.; GD.Fontana; C. Gregoretti; L.Marchi. ۲۰۰۲. Assessment of shallow landsliding by using a physically based model of hillslope stability. *Hydrological Processes*, ۱۶: ۲۸۳۳-۲۸۵۱. DOI ۱۰,۱۰۰۲/hyp.۱۰۷۴
- Claessens, L.; A. Knapen. ۲۰۰۷. Modelling landslide hazard, soil redistribution and sediment yield of landslides on the Ugandan foot slopes of Mount Elgon. *Geomorphology*, ۹۰: ۲۳-۳۵. Doi ۱۰,۱۰۱۶/۱۰,۱۰۱۶/j.geomorph.۲۰۰۷,۰۱,۰۰۷
- Cha, A. ۲۰۱۴. A Comparison on the Identification of Landslide Hazard using Geomorphological Characteristics, *Journal of the Korean GeoEnvironmental Society*, ۱۵: ۶۷-۷۳. DOI ۱۰.۱۴۴۸۱./jkges.۲۰۱۴,۱۵
- Legorreta Paulina G.; M. Bursik; J. Lugo-Hubp; J.J. Zamorano Orozco, ۲۰۱۰. Effect of pixel size on cartographic representation of shallow and deep-seated landslide, and its collateral effects on the forecasting of landslides by SINMAP and Multiple Logistic Regression landslide models. *Physics and Chemistry of the Earth*, ۳۵: ۱۳۷-۱۴۸. Doi ۱۰,۱۰۱۶/j.pce.۲۰۱۰,۰۴,۰۰۸
- Kayastha, P. ۲۰۰۶. Slope stability analysis using GIS on a regional scale. Master thesis in Physical Land Resources, Vrije Universiteit Brussel.
- Klimes, J. ۲۰۰۸. Analysis of preparatory factors of landslide vsetinske vrchy highland, Czech republic. *Acta Research Reports*, ۱۷: ۴۷-۵۳.
- Faria, A; C. Bateira; S.Laura ; J. Fernandes; J.Gonçaves; F.Marques. ۲۰۱۶. Landslide Susceptibility Evaluation on agricultural terraces of Douro Valley (Portugal), using physically based mathematical models. *European Geosciences Union (EGU) General Assembly*, ۱۷-۲۲ April, Vienna Austria.
- Glade, T.; MG Anderson, MJ Crozier. ۲۰۰۰. *Landslide risk assessment*. John Wiley Publishers, New York.
- Henrich, K.; M.J Crozier. ۲۰۰۴. A hillslope hydrology approach for catchment-scale slope stability analysis. *Earth Surface Process. Landforms* ۲۹: ۵۹۹-۶۱۰. DOI ۱۰,۱۰۰۲/esp.۱۰۵۴

- Naqa, A.E.; M Abdelghafoor. ۲۰۰۶. Application of SINMAP Terrain Stability Model along Amman-Jerash-Irbid Highway, North Jordan, ejge paper. Computer Vision, Graphics and Image Processing, ۲۸: ۳۲۸-۳۴۴.
- Michel, G.P.; M.Kobiyama; R.F. Goerl. ۲۰۱۴. Comparative analysis of Shalstab and Sinmap for landslide susceptibility mapping in the Cunha River basin, southern Brazil. Soils Sediments ۱۴: ۱۲۶۶-۱۲۷۷. Doi ۱۰.۱۰۰۷/s۱۱۳۶۸-۰۱۴-۰۸۸۶-۴
- Montgomery, DR.; WE.Dietrich. ۱۹۹۴. A physically based model for the topographic control on shallow landslide. Water Resource Research, ۳۰: ۸۳-۹۲. DOI ۱۰.۱۰۲۹/۹۳WR۰۲۹۷۹
- Pack, R. T.; D. G. Tarboton. ; C. N. Goodwin. ۱۹۹۸. The SINMAP approach to terrain stability mapping. ۴th Congress of the International Association of Engineering Geology, ۲۱-۲۵ September, Vancouver, British Columbia, Canada.
- Talebi, A.; P. A.Troch.; R.Uijlenhoet. ۲۰۰۸. A steady-state analytical hillslope stability model for complex hillslopes. Hydrology Process, ۲۲: ۵۴۶-۵۵۳. DOI ۱۰.۱۰۰۲/hyp.۶۸۸۱
- Troch, P.A.; C.Paniconi; E.E.Van Loon. ۲۰۰۳. Hillslope-storage Boussinesq Model for subsurface flow and variable source areas along Complex Hillslopes, Formulation and characteristic response. Water resources research, ۳۹: ۱۳۱۶. Doi ۱۰.۱۰۲۹/۲۰۰۳WR۰۰۱۷۲۸
- Terhorst, B.; R. Kreja. ۲۰۰۹. Slope stability modelling with SINMAP in a settlement area of the Swabian Alb. Landslides, ۶: ۳۰۹-۳۱۹. Doi ۱۰.۱۰۰۷/s۱۰۳۴۶-۰۰۹-۰۱۶۷-۲
- Vita, P. De.; I J.Napolitano, Godt I R. Baum. ۲۰۱۳. Deterministic estimation of hydrological Thresholds for shallow landslide initiation and slope stability models: case study from the Somma-Vesuvius area of southern Italy, Landslides ۱۰: ۷۱۳-۷۲۸. Doi ۱۰.۱۰۰۷/s۱۰۳۴۶-۰۱۲-۰۳۴۸-۰۳۴۸-۲
- Vinh, B.L. ۲۰۰۷. Regional slope instability zonation using different GIS techniques, Master thesis in Physical Land Resources, Vrije Universiteit Brussel
- Wawer, R.; E. Nowocien. ۲۰۰۳. Application of SINMAP terrain stability model to Grodarz stream watershed. Journal of Polish Agricultural Universities Environmental Development ۶(۱)
- Yang Hi-hua, Z.; H.x. Lan.; Ho. LIU.; LI. Lang - ping.; WU. Yuming ۲۰۱۰. Post-earthquake rainfall-triggered slope stability analysis in the Lushan area, Journal of Mountain Science, ۱۲: ۲۳۲-۲۴۲. Doi ۱۰.۱۰۰۷/s۱۱۶۲۹-۰۱۳-۲۸۳۹-۶
- Yilmaz, I.; K.Inan. ۲۰۰۹. GIS based statistical and physical approaches to land Slide susceptibility mapping (Sebinkarahisar, Turkey), Bulletin of Engineering Geology and the Environment, ۶۸: ۴۵۹-۴۷۱. Doi ۱۰.۱۰۰۷/s۱۰۰۶۴-۰۰۹-۰۱۸۸-z